

FIG. 1

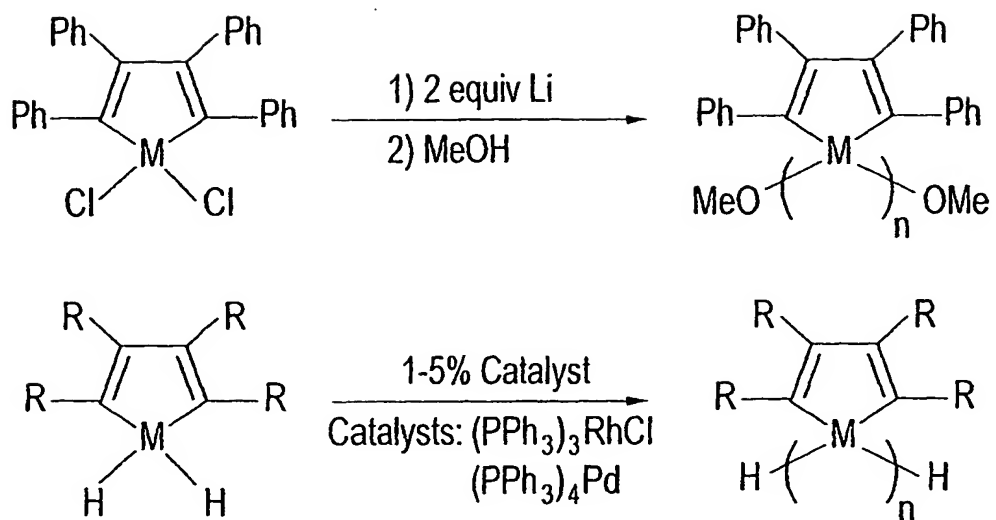
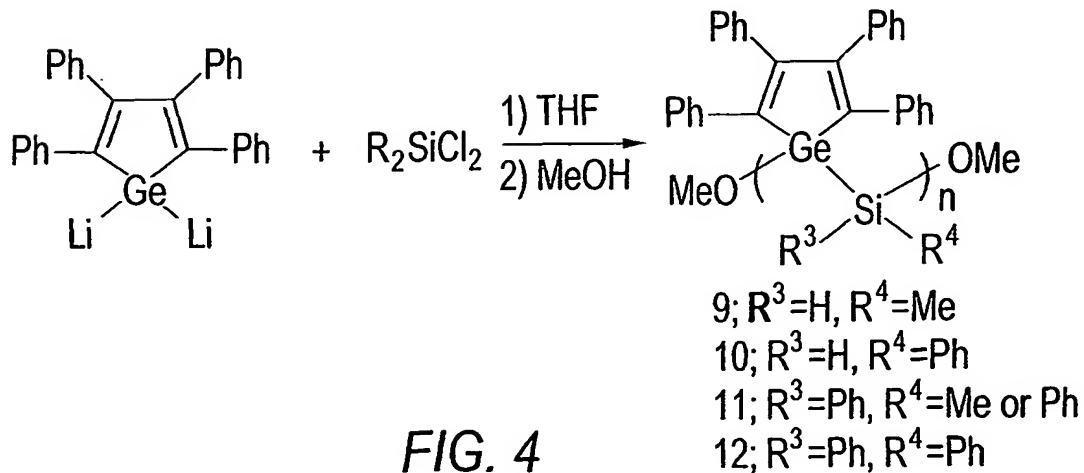
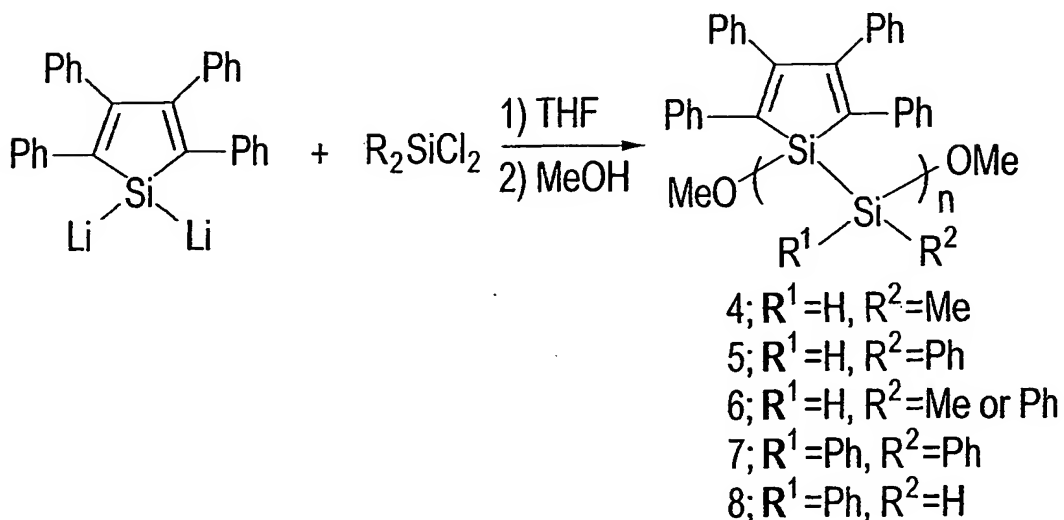
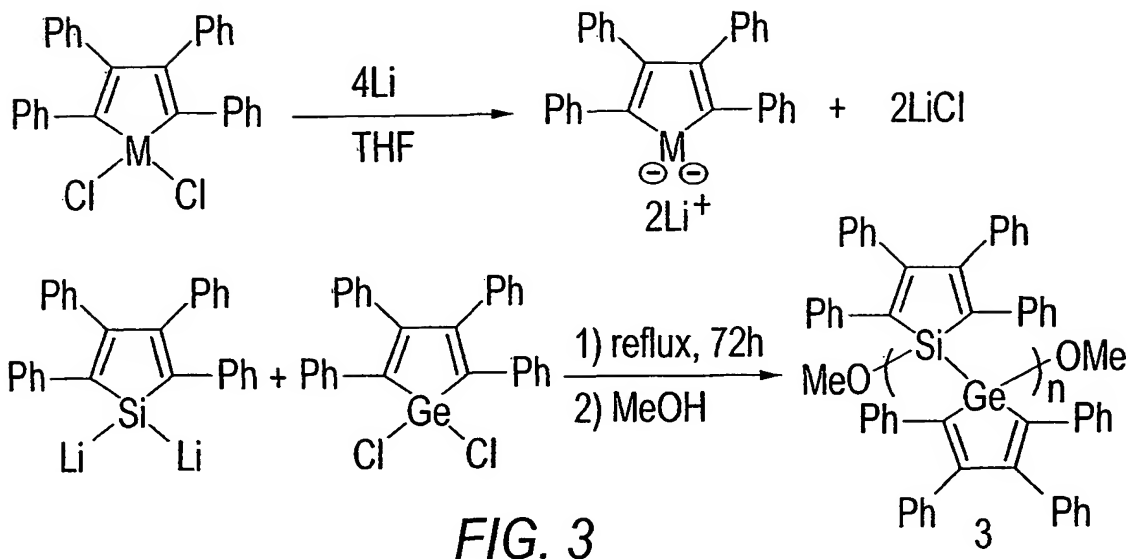


FIG. 2



3/13

10/528967

polymers	M_w	M_η	$\lambda_{abs} \pi - \pi^*$		$\sigma - \sigma_2^2 + \pi^*$		$K_{SV}(M^{-1})$		$K_{SV}(M^{-1})$		$K_{SV}(M^{-1})$	
			λ_{abs} (nm)	λ_{fluor} (nm)	PA	TNT	DNT	NB				t(x10 ⁻⁹ s)
1	6.2×10^3	5.4×10^3	368, 314	513	11,000	4340	2420	1200	0.70	0.70	c	
2	4.6×10^3	4.4×10^3	368, 302	499	6710	2050	1010	320	0.28	0.28	d	
3	5.5×10^3	5.0×10^3	364, 302	510, 385	8910	3050	1730	753	0.43			
4	4.4×10^3	4.2×10^3	370, 318	491	9120	3520	2060	1150	2.33			
5	4.5×10^3	4.1×10^3	370, 320	488	10,700	3940	2380	1230	1.34			
6	4.8×10^3	4.1×10^3	368, 320	489	8420	3030	2010	735	2.20			
7	5.0×10^3	4.8×10^3	364, 318	493	10,800	3430	2330	965	0.62			
8	4.6×10^3	4.0×10^3	366, 324	505, 385	9350	3680	2340	864	2.70			
9	4.9×10^3	4.4×10^3	364, 304	483, 400	10,300	3990	2570	1140	0.27			
10	4.4×10^3	4.2×10^3	364, 304	486, 400	9990	3330	2000	965	0.35			
11	4.1×10^3	3.9×10^3	364, 304	484, 400	8740	3430	2210	986	0.26			
12	5.4×10^3	5.0×10^3	364, 306	480, 402	9840	3340	2150	936	0.22			

FIG. 5

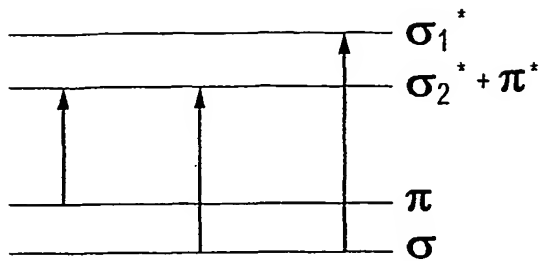


FIG. 6

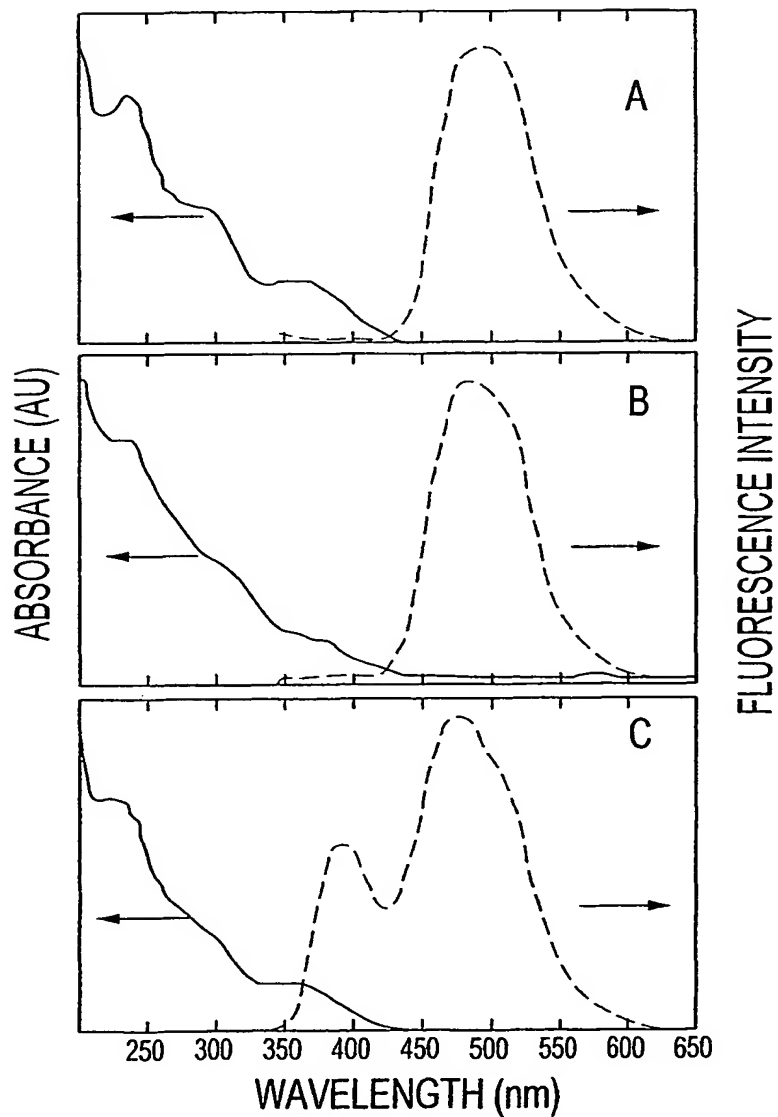


FIG. 7

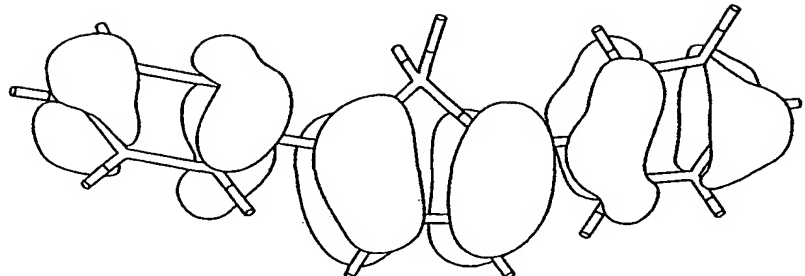


FIG. 8A

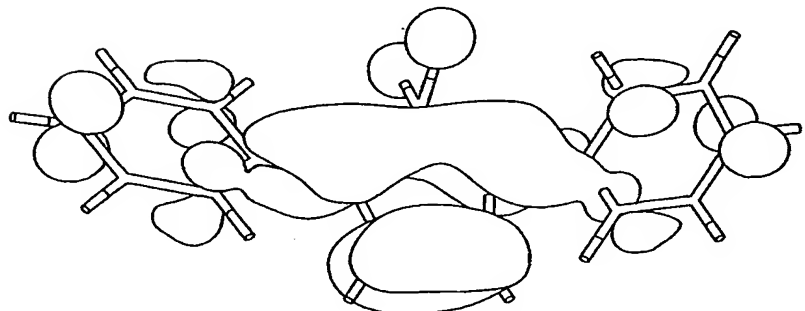


FIG. 8B

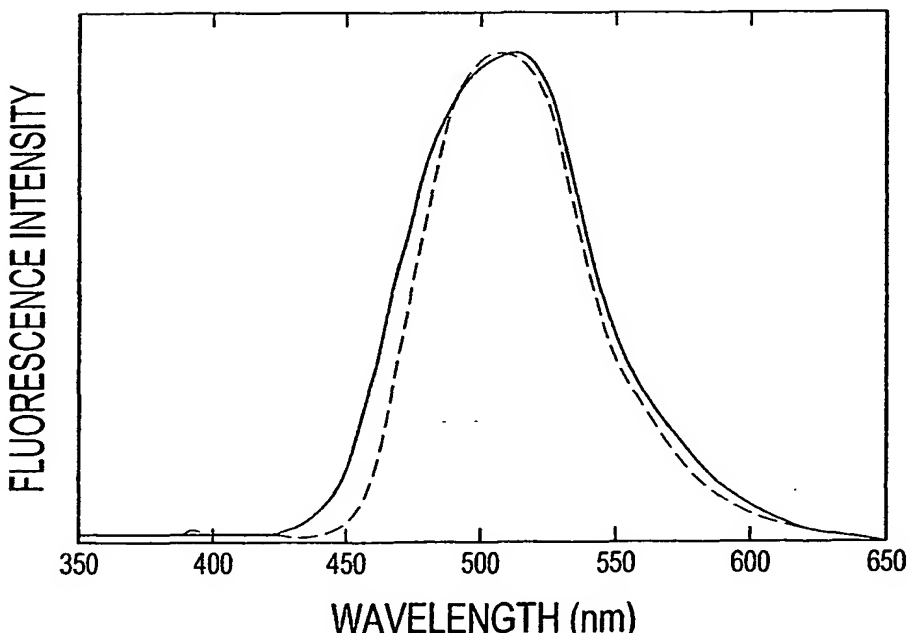


FIG. 9

2005 MAR 21 2005 6/1305 16

10/528967

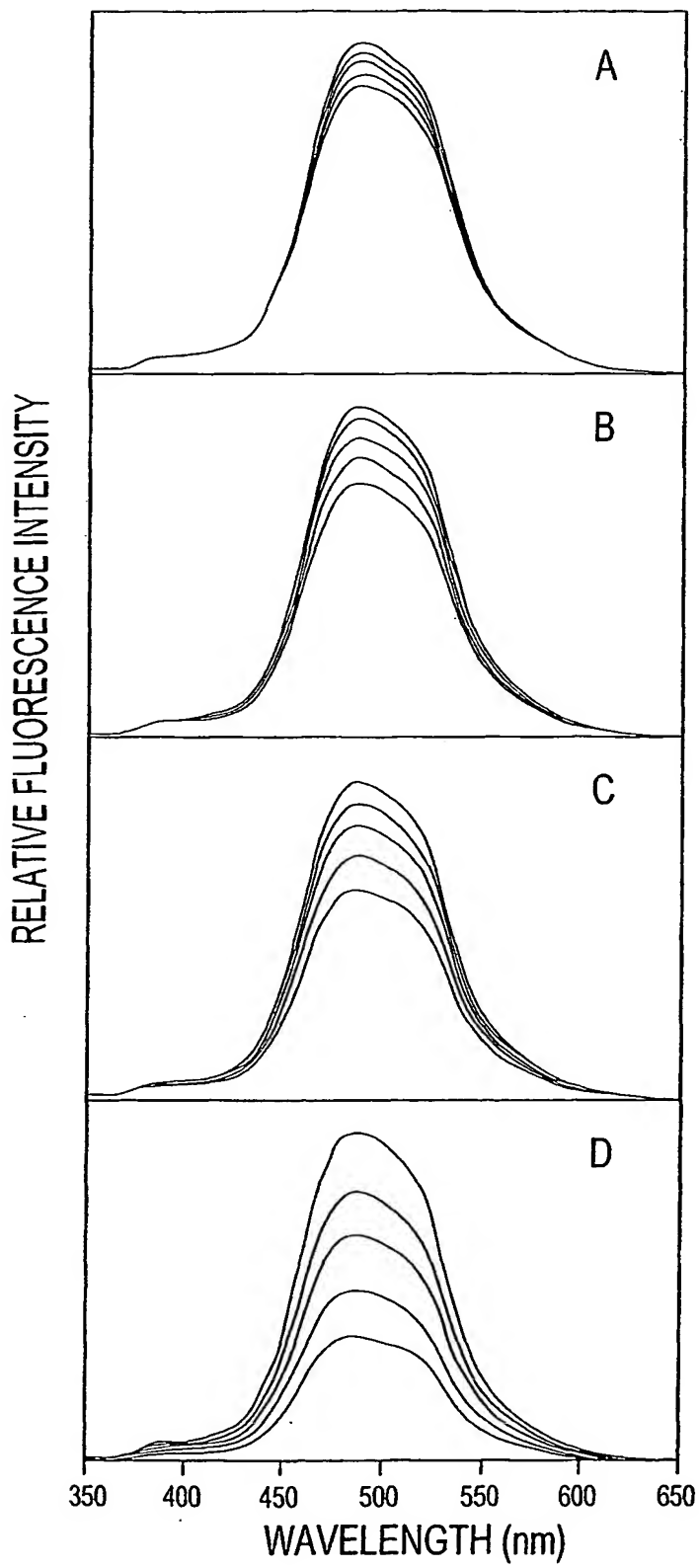


FIG. 10

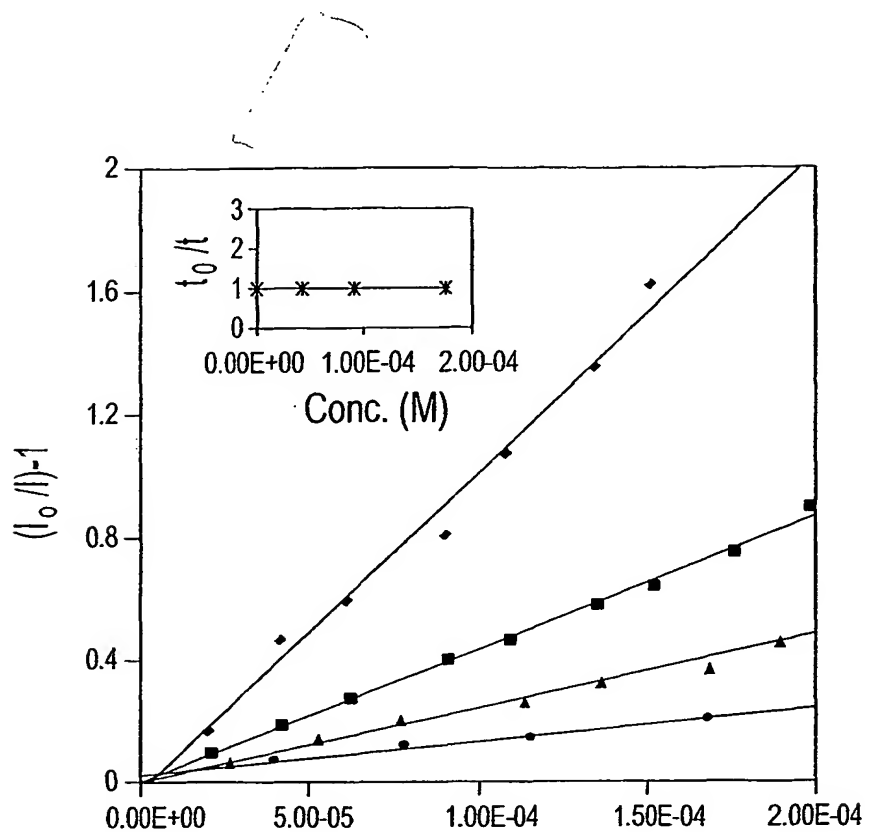


FIG. 11A

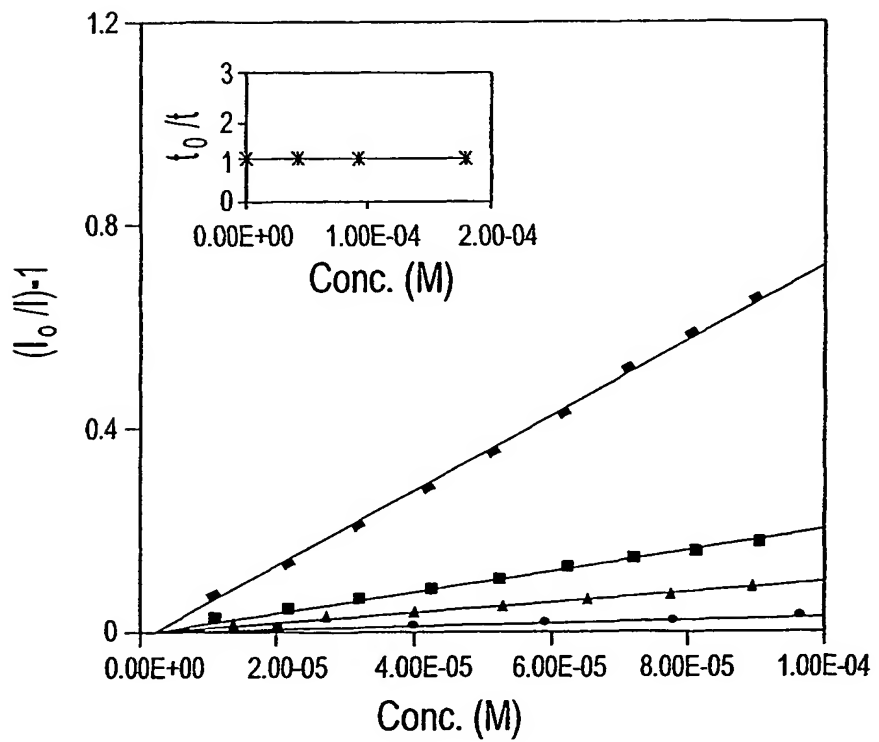


FIG. 11B

8/13

10/528967

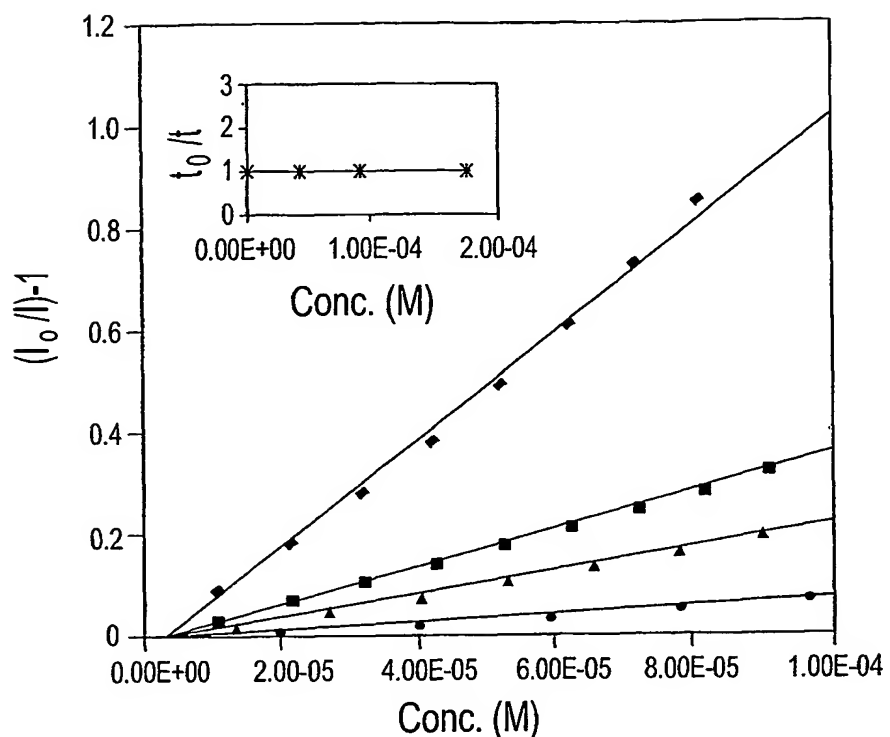


FIG. 11C

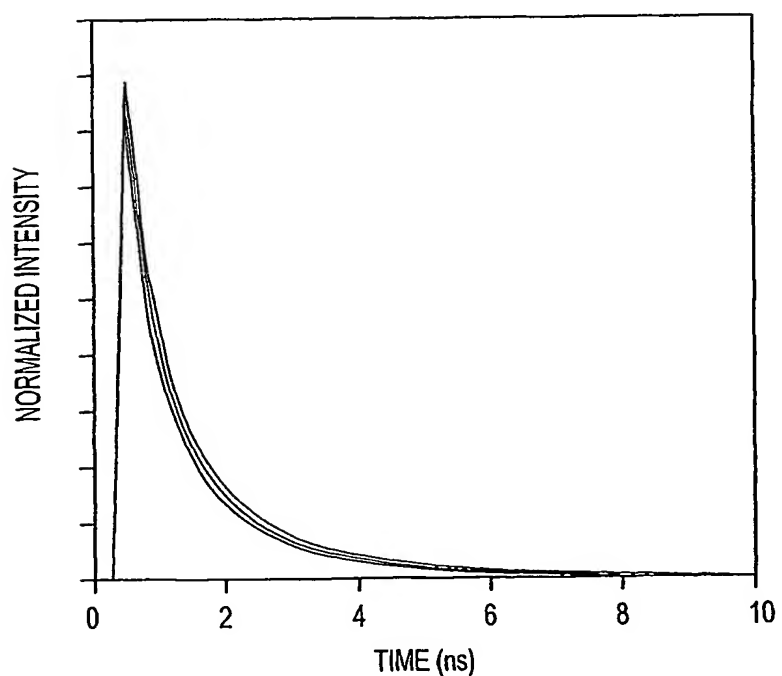


FIG. 12

9/13

10/528967

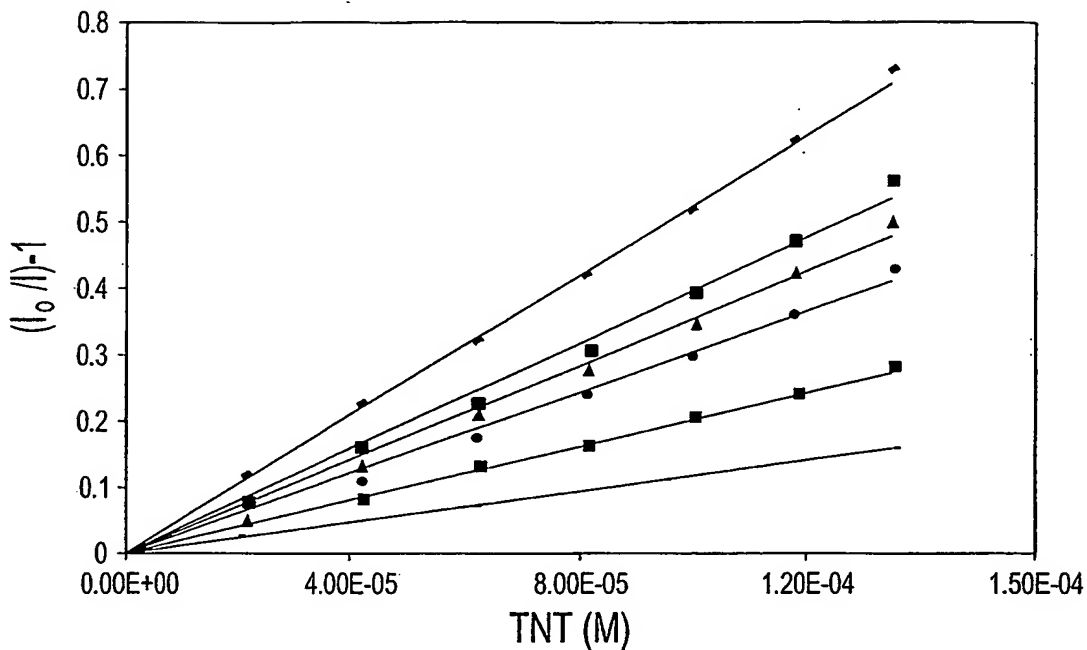


FIG. 13

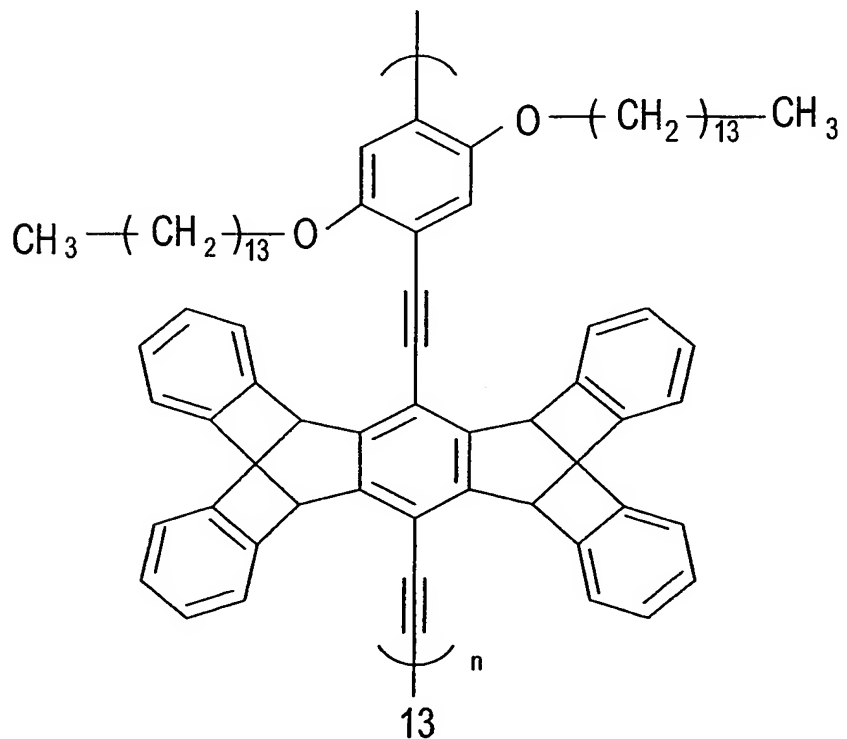


FIG. 14

10/528967

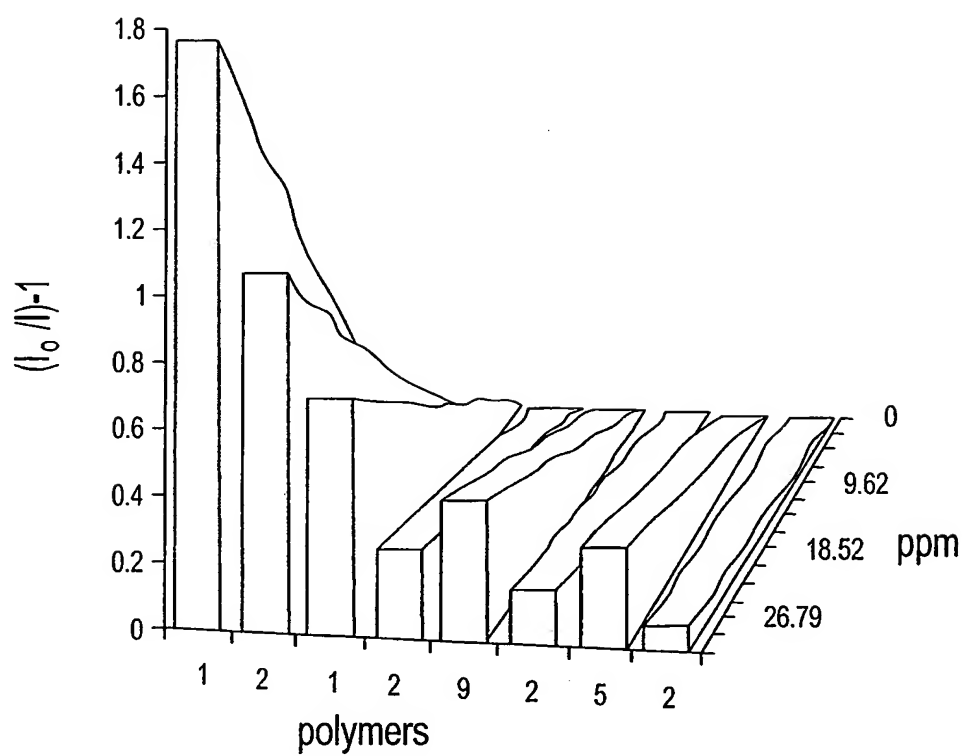


FIG. 15

11/13

10/528967

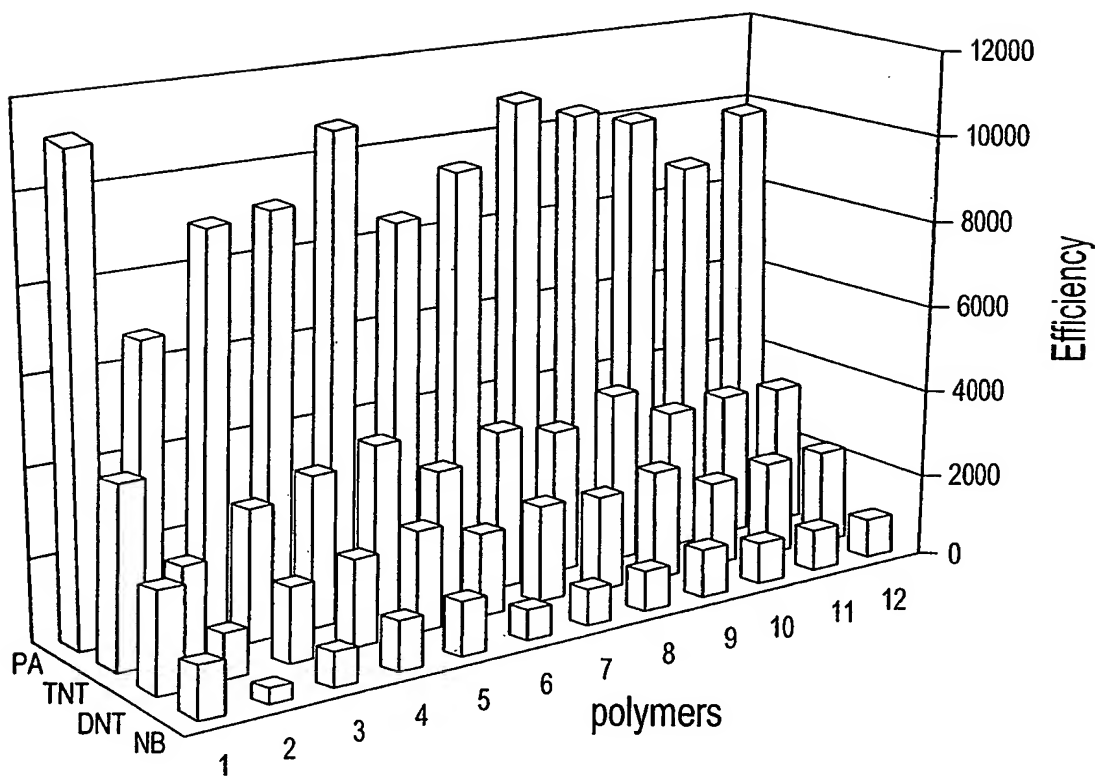


FIG. 16

12/13

10/528967

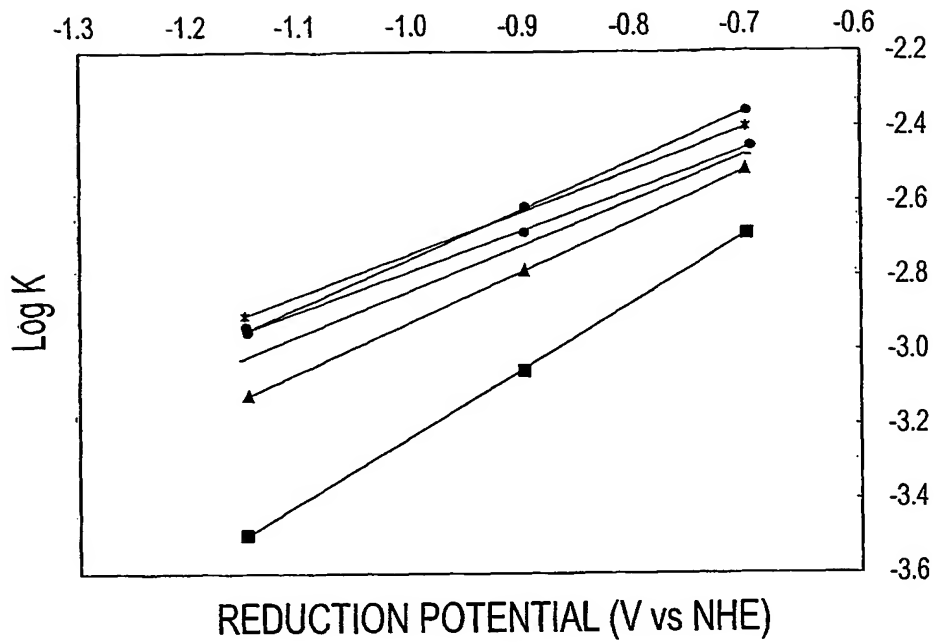


FIG. 17

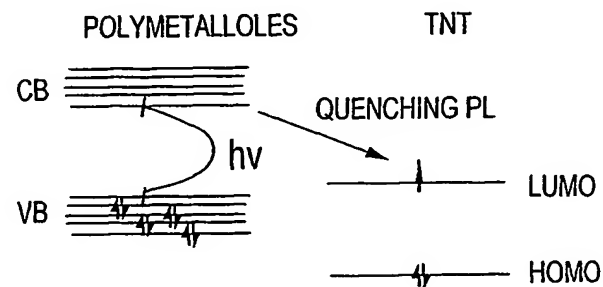
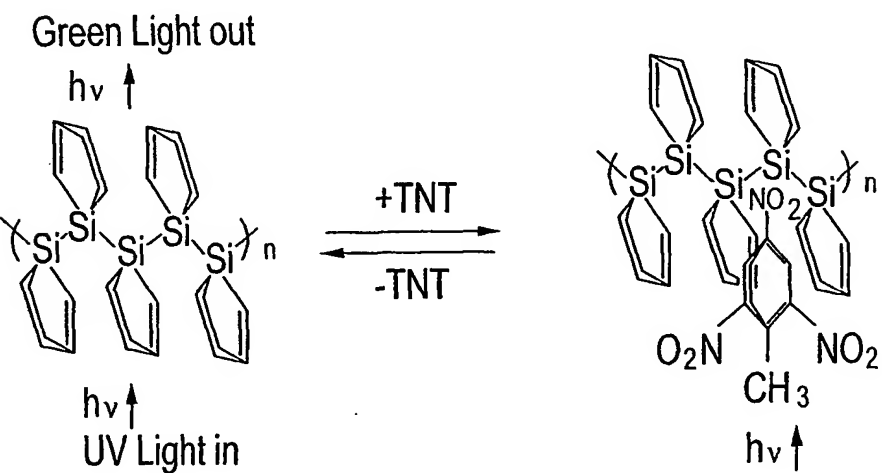


FIG. 18

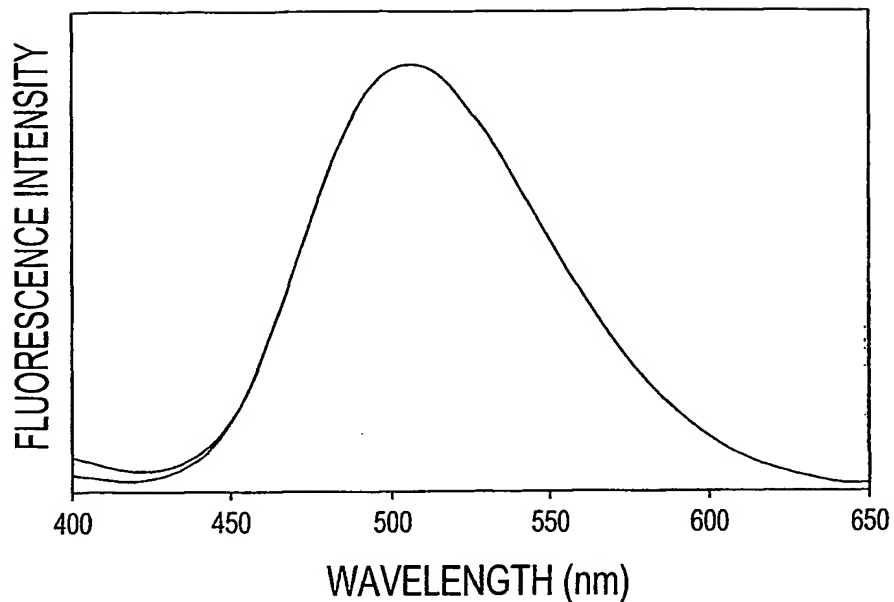


FIG. 19

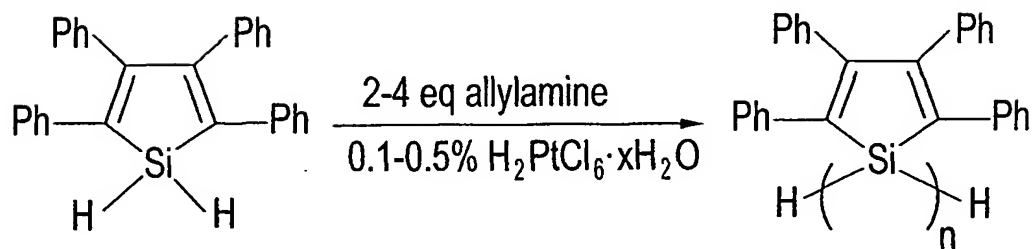


FIG. 20